

طبقه‌بندی غیرنظراتی داده‌های لرزه‌ای با استفاده از مدل‌های ترکیبی گوسی

امیر آریان نژاد^۱، محمد رداد^{۲*} و سعید هادیلو^۳

۱- گروه نفت، دانشگاه آزاد اسلامی واحد الکترونیکی، تهران، ایران

۲- دانشکده مهندسی معدن، نفت و ژئوفیزیک، دانشگاه صنعتی شاهروود، ایران

۳- پژوهشکده علوم پایه کاربردی جهاد دانشگاهی، تهران، ایران

تاریخ دریافت: ۱۳۹۸/۰۶/۱۹ تاریخ پذیرش: ۱۳۹۹/۰۶/۱۶

چکیده

تحلیل رخساره‌های لرزه‌ای نقش بسزایی در مطالعات مخازن هیدرولوکربنی دارد. از آن جا که در ابتدای شروع عملیات اکتشافی مخازن هیدرولوکربنی تعداد چاهه‌ای موجود در منطقه کم است و یا وجود ندارد، می‌توان با استفاده از الگوریتم‌های شناسایی الگو و نشان‌گرهای مناسب لرزه‌ای به بررسی تغییرات جانبی و آنالیز رخساره‌های لرزه‌ای در یک افق پرداخت. روش‌های نظراتی و غیرنظراتی کمک شایانی به دقت، سرعت و کاهش هزینه دسته‌بندی داده‌ها و تحلیل بهتر رخساره‌های لرزه‌ای می‌کنند. اساس روش‌های غیرنظراتی، که موضوع این مقاله است، دسته‌بندی تمام داده‌ها در فضای نشان‌گری است و نتیجه به دست آمده به اطلاعات پیشین بستگی ندارد. در این روش، دسته‌بندی و تفسیر نتایج به دست آمده، بدون استفاده از داده‌های چاه، با آنالیز تطبیق بین رخساره‌های لرزه‌ای به دست می‌آید. روش‌های گوناگونی برای خوشبندی غیرنظراتی وجود دارد. در این مقاله روش مدل‌های ترکیبی گوسی (GMM) مورد استفاده قرار گرفته است که با استفاده از توزیع گوسی و اختصاص احتمال عضویت به نمونه‌های تحلیل، خوشبندی آن‌ها را تعیین می‌کند. با استفاده از این روش تحلیل رخساره لرزه‌ای برروی یک مجموعه داده سه‌بعدی مربوط به یکی از میدانی هیدرولوکربنی جنوب ایران انجام می‌شود. تحلیل برروی دو افق مختلف انجام شده است و نتایج نشان می‌دهد که روش GMM عملکرد قابل قبولی در خوشبندی دارد و نتایج با تحلیل کیفیت مخزنی حاصل از رخساره‌های الکتریکی در برخی چاه‌ها هم خوانی دارد.

کلمات کلیدی: رخساره لرزه‌ای، خوشبندی، طبقه‌بندی غیرنظراتی، مدل ترکیبی گوسی، کیفیت مخزنی

مقدمه

از چاه‌ها به دست می‌آید که شامل نمودار چاه‌ها، نمونه‌های مغزه و داده‌های تولید است. با این حال، نمودار چاه و داده مغزه، اندازه‌گیری‌های محلی هستند که ممکن است تمامی رفتار مخزن را منعکس نکنند. در مقابل داده‌های پراکنده چاه، داده لرزه‌ای سه‌بعدی منطقه بزرگی را پوشش می‌دهد.

انواع زیادی از اطلاعات در ساخت مدل مخزن استفاده می‌شوند. یکی از مهم‌ترین منابع اطلاعات،

از روش k-mean برای خوشبندی غیرنظرارتی در یک مخزن کربناته در بزرگی استفاده کردند.

روش دیگر در این زمینه ترسیم متقابل^۱ است. مفسران، مدت زیادی از بسته‌های نرم‌افزاری تجاری بهمنظور ترسیم متقابل نشان‌گرهای لرزه‌ای دو بعدی و سه بعدی در مخزن بهمنظور تعریف رخساره‌های سنگی استفاده می‌کردند. برای واسنجی چنین ترسیم‌هایی، مفسر، اطلاعات نمودار چاه را با استفاده از اشعه گاما و پاسخ مقاومت ویژه همراه با نگارهای موج P و موج S و چگالی، ترسیم متقابل می‌کند تا توابع چگالی احتمال را برای هر رخساره دلخواه بسازد و در نتیجه ترسیم‌های متقابل لرزه‌ای را واسنجی کند. با محصور کردن نقاط خوشبندی ناهنجار در فضای ترسیم متقابل و تصویر کردن آن‌ها روی مقاطع افقی یا عمودی، رخساره‌های مورد نظر روی برش‌های افقی یا عمودی ترسیم می‌شوند. با این حال ترسیم متقابل بیش از سه نشان‌گر، نه فقط از منظر پیاده‌سازی، بلکه در ک آن نیز دشوار می‌شود [۱۵]. تحلیل مؤلفه اصلی (PCA)^۲ تکنیک دیگری است که در خوشبندی بدون نظارت به کار می‌رود و یک ابزار مفید کاهش بعد است. خیلی از نشان‌گرهای از طریق زمین‌شناسی به هم جفت می‌شوند، به‌طوری‌که یک گسل می‌تواند باعث افزایش تغییرات جانبی در شکل موج، شب، فرکانس و دامنه شود. خیلی از نشان‌گرهای، مثل معیارهای گوناگون شبات یا مجموعه‌ای از مؤلفه‌های طیفی نزدیک به هم، از طریق محاسبات ریاضی جفت می‌شوند [۱۶]. میزان فراوانی نشان‌گرها توسط ماتریس کواریانس اندازه‌گیری می‌شود. از نظر ریاضی، تعداد نشان‌گرهای مستقل خطی با مقادیر ویژه و بردارهای ویژه ماتریس کواریانس تعریف می‌شود.

تغییرات سنگ‌شناسی و سیالات، در تغییرات دامنه، شکل، همبستگی جانبی و نشان‌گرهای لرزه‌ای دیگر تأثیر می‌گذارند. نشان‌گرهای لرزه‌ای می‌توانند اطلاعات ساختار مدل مخزن را فراهم کنند. توصیف و تفسیر پارامترهای بازتابی لرزه‌ای استخراج شده که شامل هندسه، پیوستگی، دامنه، فرکانس و سرعت بازه‌ای می‌باشند، به عنوان تحلیل رخساره‌های لرزه‌ای شناخته می‌شوند [۱]. تحلیل رخساره‌های لرزه‌ای می‌تواند از طریق استفاده از تکنیک‌های شناسایی الگو انجام شود. با ترکیب مناسب نشان‌گرهای لرزه‌ای، می‌توان تغییرات جانبی مخزن را شناسایی و سپس با اطلاعات چاه واسنجی^۳ کرد [۲ و ۳]. وقتی که اطلاعات زمین‌شناسی، ناقص یا ناموجود باشد، تحلیل رخساره‌های لرزه‌ای را بدون نظارت می‌نمایند و از طریق یادگیری غیرنظرارتی یا الگوریتم‌های خوشبندی اجرا می‌شود [۴]. استفاده از طبقه‌بندی رخساره لرزه‌ای با کمک کامپیوتر، بلاfaciale بعد از توسعه نشان‌گرهای لرزه‌ای در دهه ۱۹۷۰ [۵ و ۶]، با تحقیقات سانلند [۷] و جاستایس و همکاران [۸] شروع شد. در عمل، یادگیری بدون نظارت از نشان‌گرها به عنوان داده یادگیری و داده تحت آنالیز استفاده می‌کند.

بارنز و لافلین [۹]، ژائو و همکاران [۱۰]، چوپرا و مارفورت [۱۱] و هادیلو و همکاران [۱۲] مقایسه‌ای بین روش‌های مختلف بدون نظارت برای طبقه‌بندی رخساره‌های لرزه‌ای انجام داده‌اند. ساده‌ترین الگوریتم خوشبندی بدون نظارت، k-mean است [۱۳] که در آن مفسر تعداد رخساره‌هایی (خوشبندی) را که باید پیدا شوند، تعریف می‌کند. سپس الگوریتم، میانگین‌ها و انحراف‌های استاندارد (به‌طور کلی ماتریس‌های کواریانس) را پیدا می‌کند تا مرکز و گسترش هر کدام از خوشبندی‌ها در فضای نشان‌گری چندبعدی تعیین شود. با استفاده از قوانین طبقه‌بندی بیزی، بردار نشان‌گر در یک نقطه داده شده، به خوشبندی که به آن نزدیک‌تر است اختصاص داده می‌شود. فریرا و همکاران [۱۴]

1. Calibration

2. Cross-plotting

3. Principal Component Analysis

یادگیری، تابع همسایگی و نرخ یادگیری اشاره کرد به طوری که این پارامترها وابسته به داده هستند [۲۰]. بیشап و همکاران [۲۰] یک روش جایگزین را برای نقشه‌های خودسازمانده توسعه دادند که بر این محدودیت‌ها فائق آیند. این روش، الگوریتم نقشه‌های توپوگرافی مولد (GTM)^۳ نامیده می‌شود و یک تکنیک کاهش ابعاد غیرخطی است که نمایش احتمالی بردارهای داده را در یک فضای مخفی فراهم می‌کند. روی [۲۱] و روی و همکاران [۲۲]، جزئیات این روش را تشریح کردند و کاربرد آن را برای به نقشه درآوردن رخساره‌های لرزه‌ای حوزه وراکروز در مکزیک بیان کردند.

مدل‌های ترکیبی گوسی (GMM)^۴، مدل‌های پارامتری توزیع احتمال هستند که می‌توانند انعطاف و دقت بیشتری را در مدل‌سازی نسبت به الگوریتم‌های خوشبندی سنتی فراهم کنند. لوبو و همکاران [۲۳] این تکنیک را به یک مجموعه از نمودارهای چاه که در منطقه Horseshoe Atoll در تگزاس غربی به دست آمده‌اند، بهمنظور تولید سنگ‌شناسی‌های مختلف اعمال کردند. این سنگ‌شناسی‌های GMM، سپس جهت واسنجی نتایج وارون‌سازی پیش از برانبارش لرزه‌ای سه‌بعدی بهمنظور ساخت یک مدل خواص سنگ سه‌بعدی استفاده شده‌اند. همچنین در زمینه استفاده از روش GMM می‌توان به تحقیق هاردیستی و والت [۲۴] اشاره کرد که با استفاده از الگوریتم بیشینه‌سازی انتظار به بررسی و تحلیل رخساره‌های لرزه‌ای به‌وسیله خوشبندی داده‌های لرزه‌ای پرداختند. در ایران نیز پژوهش‌های مختلفی در زمینه به کارگیری روش‌های تحلیل رخساره لرزه‌ای انجام شده است. عدالت و سیاهکوهی [۲۵] از تحلیل رخساره لرزه‌ای برای توصیف یکی از مخازن ایران به دو شیوه با نظارت و بدون نظارت بهره برند.

1. Self-Organized Maps
2. Grey-Level Co-occurrence Matrix
3. Stacking
4. Generative Topographic Maps
5. Gaussian Mixture Models

اگر مقادیر ویژه از بزرگ‌ترین به کوچک‌ترین مرتب شوند اولین بردار ویژه متناظر با بیشترین مقدار ویژه، اولین مؤلفه اصلی خواهد بود که نشان‌دهنده بیشترین تغییرات در داده است. بردارهای ویژه متناظر با مقادیر ویژه بعدی مؤلفه‌های اصلی با هم متعامد بعدی می‌باشند. مؤلفه‌های اصلی بر هم متعامد هستند. به دلیل این که نشان‌گرهای لرزه‌ای از طریق زمین‌شناسی محدودیت باند موجک چشمی با هم همبستگی دارند، دو یا سه مؤلفه اصلی اول، تقریباً همیشه، بیان‌گر اکثریت تغییرپذیری داده می‌باشند. رودن و همکاران [۱۷] از ترکیب PCA و نقشه‌های خودسازمانده (SOM)^۱ برای بازنگشتن الگوی زمین‌شناسی از نشان‌گرهای لرزه‌ای استفاده کردند. روش نقشه‌های خودسازمانده یک تکنیک دیگر غیرنظراتی برای تولید نقشه رخساره‌های لرزه‌ای از طریق نشان‌گرهای لرزه‌ای چندگانه است. در یک توزیع با N نشان‌گر در یک فضای داده N بعدی، سطحی که بهترین تطابق را با داده دارد توسط دو بردار ویژه اول ماتریس کواریانس تعیین می‌شود. سپس صفحه موردنظر به صورت تکرارشونده به یک سطح دو بعدی تحت عنوان گوناگونی تغییر شکل داده می‌شود که تطابق بهتری را با داده دارد. بعد از هم‌گرایی، داده‌های N بعدی روی این سطح دو بعدی تصویر می‌شوند. گائو [۱۸] نقشه خودسازمانده یک بعدی را روی یک ماتریس هم‌رخداد سطح خاکستری (GLCM)^۲ به‌هدف به نقشه درآوردن رخساره‌های لرزه‌ای منطقه دریایی آنگولا پیاده‌سازی کرد. کیان و همکاران [۱۹] برای خوشبندی روش SOM را برروی داده‌های پیش از برانبارش^۳ و با توسعه یک رهیافت داده محور برای استخراج ویژگی به نام ثبت خودکار هم‌آمیختی عمیق به کار گرفتند. نقشه خودسازمانده کوهنن به عنوان پرکاربردترین روش خوشبندی غیرنظراتی علی‌رغم سادگی پیاده‌سازی و نرخ نه چندان بالای محاسبات محدودیت‌هایی نیز دارد که می‌توان به عدم وجود مبنای تئوری برای انتخاب شعاع

شهرت خود را به دست آورد. می‌توان گفت هارتلی [۳۰]، اولین نفری بود که مفهوم EM را معرفی کرد. با این حال، دمپستر و همکاران [۳۱]، این روش را فرمول‌بندی و پیاده‌سازی کردند. در اصل، الگوریتم EM یک روش بهینه‌سازی تکرارشونده برای تخمین EM پارامتر است. دو مرحله در هر تکرار وجود دارد: ۱) با تخمین پارامترهای مدل ترکیبی گوسی، از تکرار قبلی، اطلاعات عضویت (یعنی احتمالی که هر داده از هر مدل گوسی نمونه برداری شده باشد) محاسبه می‌شود. این مرحله، به عنوان مرحله انتظار یا مرحله E شناخته می‌شود. ۲) با استفاده از اطلاعات عضویت تخمین زده شده و اندازه‌گیری‌ها، یک تخمین درست‌نمایی بیشینه از پارامترهای مدل ترکیبی گوسی در مرحله دوم به دست می‌آید. این مرحله به عنوان مرحله بیشینه‌سازی یا مرحله M شناخته می‌شود. این فرآیند دو مرحله‌ای در هر تکرار به هنگام می‌شود تا اینکه هم‌گرایی حاصل شود [۳۲].

مدل ترکیبی گوسی

در علم آمار، مدل ترکیبی گوسی، یک توزیع احتمال است که یک ترکیب محدب از چند توزیع احتمال گوسی است. فرض کنید مقدار تصادفی d نماینده یک نمونه از یک ترکیب از M مدل گوسی مشخص باشد، پس تابع چگالی احتمال $P(d|m_j, C_j)$ با توجه به مدل ترکیبی گوسی به صورت زیر خواهد بود:

$$P(d|P, Q) = \sum_{j=1}^M p_j P(d|m_j, C_j) \quad (1)$$

که $(\Pi, \pi_M) = (\pi_1, \pi_2, \dots, \pi_M)$ سه‌مایه‌ای ترکیب می‌باشد و ترکیب محدب نیازمند آن است که برای $M, j=1, 2, \dots, M$ ، $\sum_{j=1}^M \pi_j = 1$ باشد [۳۳]. $P(d|\mu_j, C_j)$ یک توزیع گوسی با میانگین μ_j و ماتریس کواریانس C_j است. در رابطه (۱)، $\theta_M = (\theta_1, \theta_2, \dots, \theta_M)$ و $\Theta = (\mu_j, C_j)$ است.

اگر $(\Pi, \Theta) = \Phi$ نشان‌دهنده پارامترهای مدل ترکیبی گوسی باشد، پس رابطه (۱) به صورت زیر خواهد بود:

جوکار و همکاران [۲۶] رخساره‌های لرزه‌ای را از طریق آنالیز چند نشان‌گری و با روش‌های ناظارتی و غیرناظارتی دسته‌بندی کردند. هادیلو و همکاران [۲۷] با استفاده از تحلیل زمان-بسامد و استخراج نشان‌گر خط بیشینه دامنه ضرایب تبدیل موجک، و استفاده از روش‌های SOM و k-mean در جهت بهبود تحلیل رخساره لرزه‌ای پژوهشی انجام دادند. ثابتی و همکاران [۲۸] از روش خوش‌بندی سلسه مراتبی برای تحلیل رخساره لرزه‌ای، و از طریق آزمایش الگوریتم برروی داده دو بعدی و سه بعدی، استفاده کردند. باقری و همکاران [۲۹] تحلیل رخساره لرزه‌ای را در فضای عدم تشابه و بدون استفاده از نشان‌گرهای GMM برای لرزه‌ای انجام دادند. در این مقاله از روش GMM تحلیل رخساره لرزه‌ای از طریق خوش‌بندی بدون نظارت در یک مجموعه داده لرزه‌ای سه بعدی مربوط به یکی از میادین هیدروکربنی جنوب ایران استفاده شده است. در ادامه مقاله پس از ارائه تفصیلی از مبانی تئوری روش GMM، نتایج به دست آمده از تحلیل رخساره لرزه‌ای ارائه شده است. در پایان، نتایج حاصل از این مقاله بیان شده است.

تئوری

از یک منظر روش‌های خوش‌بندی به دو دسته خوش‌بندی کلاسیک (سخت) و خوش‌بندی فازی (نرم) دسته‌بندی می‌شوند. خوش‌بندی کلاسیک بدین صورت است که هر نمونه داده فقط می‌تواند در یک خوش‌بندی قرار بگیرد یعنی احتمال قرار گرفتن در دو یا بیش از دو خوش‌بندی ندارد. به عبارت دیگر، می‌توان گفت که احتمال قرار گرفتن یک داده در خوش‌بندی خاص، یا صفر است یا یک؛ ولی در خوش‌بندی فازی، احتمال قرار گرفتن یک نمونه داده در بیش از یک خوش‌بندی وجود دارد. روش GMM یک تکنیک خوش‌بندی نرم است. رهیافت این روش پیاده‌سازی الگوریتم بیشینه‌سازی انتظار (EM)^۱ برای مدل‌های ترکیبی گوسی است. الگوریتم EM، در روش‌های آماری تخمین پارامتر،

که z_i یک ویژگی گروه برای داده d_i است. اگر داده d_i به گروه Z تعلق داشته باشد یعنی از مدل گوسی Z نمونه‌برداری شود، پس $j = z_i$.

به دست آوردن تخمین درستنمایی بیشینه پارامترهای مدل ترکیبی گوسی Φ با بیشینه‌سازی مستقیم تابع درستنمایی لگاریتمی داده-ناقص (رابطه (۳)، کار دشواری است. در عوض، الگوریتم EM، به صورت تکراری، تابع درستنمایی لگاریتمی داده-ناقص را با افزایش تابع Q (انتظار تابع درستنمایی لگاریتمی داده-کامل) در هر تکرار، بهبود می‌دهد. کانگ و همکاران [۳۳] نشان داده‌اند که اگر تابع Q در هر تکرار افزایش یابد، آن‌گاه تابع درستنمایی لگاریتمی داده ناقص $L(\Phi|D)$ هم افزایش خواهد یافت. می‌توان نشان داد که رابطه ۵ معادل است با [۳۳]:

$$\mathcal{Q}(\Phi|\Phi_n) = \sum_{i=1}^N \sum_{j=1}^M h_i^j(\Phi_n) \log[\pi_j P(d_i | \delta_i^j = 1, \Phi)], \quad (6)$$

که اگر δ_i^j اگر $j = z_i$ ، برابر با یک و اگر $j \neq z_i$ ، برابر با صفر است. $(\Phi_n)^{h_i^j}$ انتظار δ_i^j با داده و پارامترهای مدل ترکیبی گوسی (Φ_n) مشخص در تکرار n است، یعنی:

$$h_i^j(\Phi_n) = E_Z \{ \delta_i^j | D, \Phi_n \} = P(\delta_i^j = 1 | d_i, \Phi_n) = \frac{(\pi_j)_n P(d_i | (\mu_j)_n, (C_j)_n)}{\sum_{k=1}^M \{(\pi_k)_n P(d_i | (\mu_k)_n, (C_k)_n)\}}, \quad (7)$$

که

$$P(d_i | (\mu_j)_n, (C_j)_n) = \frac{1}{(2\pi)^{\frac{N_d}{2}} |(C_j)_n|^{\frac{1}{2}}} \exp[-\frac{1}{2}(d_i - (\mu_j)_n)^T (C_j)_n^{-1} (d_i - (\mu_j)_n)] \quad (8)$$

در رابطه ۸، N_d بعد بردار داده d_i و $(C_j)_n$ ، دترمینان ماتریس کواریانس $(C_j)_n$ هستند. در تکرار $(n+1)$ ام، مرحله E ماتریس عضویت را با استفاده از رابطه ۷ همراه با رابطه ۸ محاسبه می‌کند. از رابطه ۷ دریافت می‌شود که $(\Phi_n)^{h_i^j}$ احتمال تعلق داده i ام را به گروه Z تعیین می‌کند که اطلاعات گروه‌بندی داده می‌باشد (داده i ام از مدل گوسی Z نمونه‌برداری شده است). ماتریس عضویت $H = H(\Phi_n)$ در تکرار n ام، ماتریسی $N \times M$ می‌باشد که $(\Phi_n)^{h_i^j}$ به عنوان درایه سطر i ام و ستون j ام این ماتریس است. مرحله

$$P(d | \Phi) = \sum_{j=1}^M \pi_j P(d | \theta_j) \quad (2)$$

اگر فرض شود که داده‌های لرزه‌ای هر رخساره زمین‌شناسی از توزیع احتمال گوسی پیروی می‌کنند، بنابراین داده لرزه‌ای تمام مخزن که شامل ترکیبی گوسی می‌باشد. برای شناسایی مدل ترکیبی گوسی می‌باشد. برای شناسایی رخساره‌های زمین‌شناسی از داده‌های لرزه‌ای نیاز است که مدل‌های گوسی و مدلی که از آن هر داده نمونه‌برداری شده باشد، پیدا شود [۳۲].

الگوریتم EM

اگر فرض شود که یک مجموعه از مقادیر اندازه‌گیری شده $D = (d_1, d_2, \dots, d_N)$ نمونه‌های یک مدل ترکیبی گوسی مشخص باشند رابطه ۲، تابع درستنمایی لگاریتمی پارامترهای مدل گوسی Φ با داده D به صورت زیر خواهد بود [۳۲]:

$$L(\Phi|D) = \log P(D|\Phi) \quad (3)$$

که \log بیان گر لگاریتم طبیعی است. اگر مشخص باشد که هر داده از کدام مدل گوسی نمونه‌برداری شده است، یعنی گروه‌بندی داده‌ها معلوم باشد، آن وقت می‌توان به راحتی تخمین درستنمایی بیشینه Φ را تعیین کرد. اما به‌طور کلی فقط داده وجود دارد و هیچ اطلاعاتی در مورد گروه‌بندی موجود نیست. در این مورد، تعیین پارامترهای مدل گوسی Φ یک مسئله داده-ناقص می‌شود. این مسئله داده-ناقص می‌تواند به صورت تکراری با استفاده از الگوریتم EM حل شود [۳۲]. تابع درستنمایی لگاریتمی به صورت زیر بیان می‌گردد [۳۱]:

$$L(\Phi|D) = \mathcal{Q}(\Phi|\Phi_n) + R(\Phi|\Phi_n) \quad (4)$$

که Φ_n پارامترهای مدل گوسی از تکرار قبلی n ام می‌باشند و Q ، انتظار تابع درستنمایی داده-کامل است که به صورت زیر تعریف می‌شود:

$$Q(\Phi|\Phi_n) = E_Z \{ \log [P(D, Z|\Phi)] | D, \Phi_n \} \quad (5)$$

و R تفاضل بین درستنمایی لگاریتمی داده-ناقص (رابطه (۳)) و درستنمایی لگاریتمی داده-کامل (تابع Q) است. در رابطه ۵ $Z = (z_1, z_2, \dots, z_N)$ است

$$G(H) = \frac{1}{2} \sum_{k=1}^N \sum_{i=1}^M \sum_{j=1}^M h_i^j h_k^j v_{ik}, \quad (12)$$

زیر تعریف می‌شود:
که v_{ik} همسایگی را تعریف می‌کند، یعنی مقدار برای حالت که d_i و d_k همسایه باشند و $i \neq k$ برابر با ۱ و در حالات دیگر برابر با صفر است EM NEM در مقایسه با الگوریتم استاندارد [۳۲]. در بخش درایه‌های ماتریس عضویت متفاوت است به‌طوری‌که درایه‌ها شامل اطلاعات فضایی نقطه داده جاری و همسایه‌های آن است. در این حالت

$$(h_i^j)_n = \frac{(\pi_j)_n P(d_i | \mu_j, C_j)_n \exp(\beta \sum_{k=1}^N h_k^j v_{ik})}{\sum_{j=1}^M \{(\pi_j)_n P(d_i | \mu_j, C_j)_n \exp(\beta \sum_{k=1}^N h_k^j v_{ik})\}}, \quad (13)$$

که عبارت فضایی $\exp(\beta \sum_{k=1}^N h_k^j v_{ik})$ به عنوان یک عبارت نرم‌کننده فضایی روی ماتریس عضویت عمل می‌کند. برای محاسبه $G(H)$ ، از h_i^j محاسبه شده در تکرار قبلی سمت راست رابطه ۱۳ استفاده می‌شود [۳۲]. به‌دلیل این که عبارت فضایی در تابع راست‌نمایی لگاریتمی افزوده در رابطه ۱۱ شامل پارامترهای مدل ترکیبی Φ نیست، بیشینه‌سازی نسبت به Φ ، همانند الگوریتم EM استاندارد است. به‌هنگام‌سازی Φ هم همانند رابطه ۱۰ می‌باشد.

پیاده‌سازی روش GMM بر روی داده‌ها

در این بخش از مقاله در ابتدا برای بررسی عملکرد روش خوش‌بندی GMM یک مجموعه داده مصنوعی مورد ارزیابی قرار می‌گیرد و پس از بررسی عملکرد روش در خوش‌بندی این مجموعه داده، داده‌های لرزه‌ای مورد تحلیل قرار می‌گیرند.

اعمال روش GMM روی داده‌های مصنوعی

برای ارزیابی کارآیی روش GMM از داده‌های نمونه گل زنبق که حاصل اندازه‌گیری ویژگی‌های گلبرگ‌های ۱۲۰ نمونه گل از سه گروه مختلف (virginica و versicolor) است استفاده می‌شود.

اول در الگوریتم EM، محاسبه درایه‌های ماتریس عضویت h_i^j برای Φ_n مشخص از رابطه ۷ می‌باشد. همان‌طور که Φ_n انتظار Φ می‌باشد، این مرحله، مرحله انتظار نامیده می‌شود. در مرحله بیشینه‌سازی (مرحله M) تکرار $(n+1)$ ام، باید پارامترهای مدل ترکیبی گوسی Φ_{n+1} از طریق بیشینه‌سازی تابع Q، که در رابطه ۶ تعریف شده، با ماتریس عضویت محاسبه شده از رابطه ۷ و در مرحله انتظار (مرحله E) تخمین زده شود؛ یعنی:

$$\Phi_{n+1} = \arg_{\Phi} \max \mathcal{Q}(\Phi | \Phi_n). \quad (9)$$

حل‌های مرحله بیشینه‌سازی به صورت زیر خواهد بود:

$$(\mu_j)_{n+1} = \frac{\sum_{i=1}^N (h_i^j)_n d_i}{\sum_{i=1}^N (h_i^j)_n}, \quad (10)$$

$$(C_j)_{n+1} = \frac{\sum_{i=1}^N (h_i^j)_n (d_i - (\mu_j)_{n+1})(d_i - (\mu_j)_{n+1})^T}{\sum_{i=1}^N (h_i^j)_n},$$

$(\pi_j)_{n+1} = \frac{1}{N} \sum_{i=1}^N (h_i^j)_n$ ، که $h_i^j = \Phi_n^{(i)}$. اگر هم‌گرایی صورت نگرفته باشد، این حل‌ها برای شروع تکرار بعدی استفاده می‌شوند.

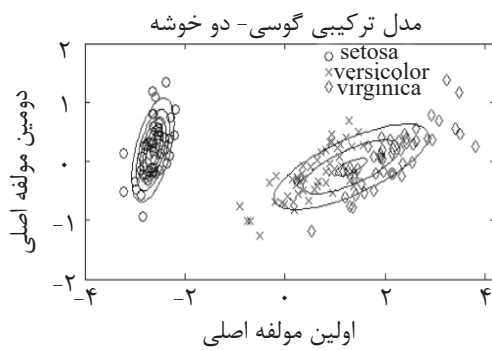
الگوریتم EM همسایگی (NEM)^۱

الگوریتم NEM، پیوستگی فضایی داده‌ها را در هر گروه با اضافه کردن یک عبارت جریمه فضایی به تابع درست‌نمایی لگاریتمی داده-ناقص اصلی، بهبود می‌دهد [۳۴] تا این‌گونه به دست آید:

$$U(\Phi | D) = L(\Phi | D) + \beta G(H), \quad (11)$$

که β در عبارت جریمه، یک پارامتر قابل تنظیم است و با آزمایش تعیین می‌شود. وقتی β خیلی کوچک باشد، نتایج الگوریتم NEM مشابه نتایج الگوریتم EM استاندارد می‌شوند. وقتی β خیلی بزرگ باشد، NEM تأکید بیش از حد بر پیوستگی فضایی یک رخساره دارد و منجر به تعداد کمی رخساره می‌شود. مطالعه حساسیت توسط هان [۳۵] نشان داد که مقدار ۱۰٪ تخمین‌های منطقی از نقشه‌های رخساره برای همه نمونه‌های مورد نظر ارائه می‌دهد. تابع قید فضایی $H(G)$ به صورت

خوش‌بندی می‌شود و کارآیی این روش برای تحلیل رخساره‌های لرزه‌ای بررسی می‌گردد. تعیین محدوده‌های مستعد دارای کیفیت مخزنی مطلوب در اکثر مطالعات اکتشافی از اهمیت بالایی برخوردار است و به طور کل تشخیص بخش‌های مخزنی که وابسته به خواص اصلی سنگ‌ها است، نقش مهمی را در مطالعات نفتی ایفا می‌کند. برای دستیابی به این دانش اولین اطلاعات در اختیار، مغزه‌ها (که عموماً تنها در برخی از چاههای منطقه تولید می‌شوند) و نگارهای چاه می‌باشند، که اطلاعات دقیقی از ویژگی‌های سنگ‌شناسی و فیزیکی از محل چاه‌ها در اختیار قرار می‌دهند؛ ولی این اطلاعات با توجه به ماهیت چاه تنها مربوط به محل چاه است و فضای بین چاههای حفاری شده را شامل نمی‌شود. برای بررسی ویژگی‌های فیزیکی سنگ‌ها در فضای بین چاه‌ها اطلاعات لرزه‌ای در اختیار است تا با استفاده از ابزار ریاضی ویژگی‌های فیزیکی لایه‌ها و واحدهای زمین‌شناسی بررسی شود.

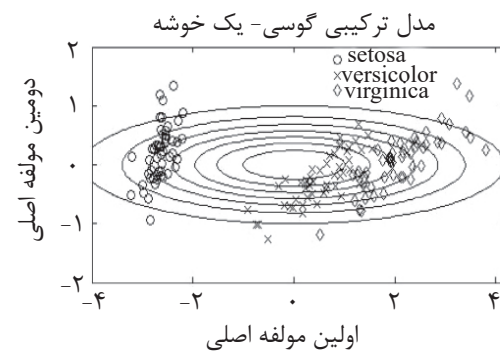


شکل ۲ خوش‌بندی دوبعدی بر مبنای تعداد خوش (۲ خوش)

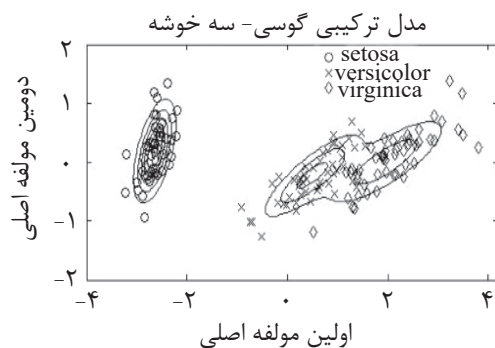
در این ارزیابی همچنین از روش PCA استفاده می‌شود تا با تولید دو ویژگی از چهار ویژگی اولیه امکان نمایش بهتر تغییرات در فضای دوبعدی را داشته باشیم. برای بررسی کارآیی روش GMM در این مثال از تعداد مختلف خوش‌بندی استفاده می‌شود تا نشان داده شود که در روش GMM به تعداد خوش‌بندی انتخابی،تابع توزیع گوسی اولیه تولید می‌گردد و سپس مراحل مختلف با بیشینه‌سازی تابع Q بهترین تابع و یا توابع گوسی را روی اطلاعات به دست می‌آورد. برای داده‌های نمونه با سه تعداد خوش‌بندی مختلف (تعداد خوش‌بندی یک تا سه)، خوش‌بندی با استفاده از روش GMM انجام شده است که نتایج آن در شکل‌های ۱ تا ۳ نمایش داده شده است. همان‌گونه که مشاهده می‌شود روش GMM با استفاده از سه خوش‌بندی توانسته است سه نوع مختلف گل را تفکیک کند.

پیاده‌سازی روش بروی داده‌های لرزه‌ای

در این بخش اطلاعات لرزه‌ای سه‌بعدی در یک میدان نفتی در جنوب ایران توسط روش M



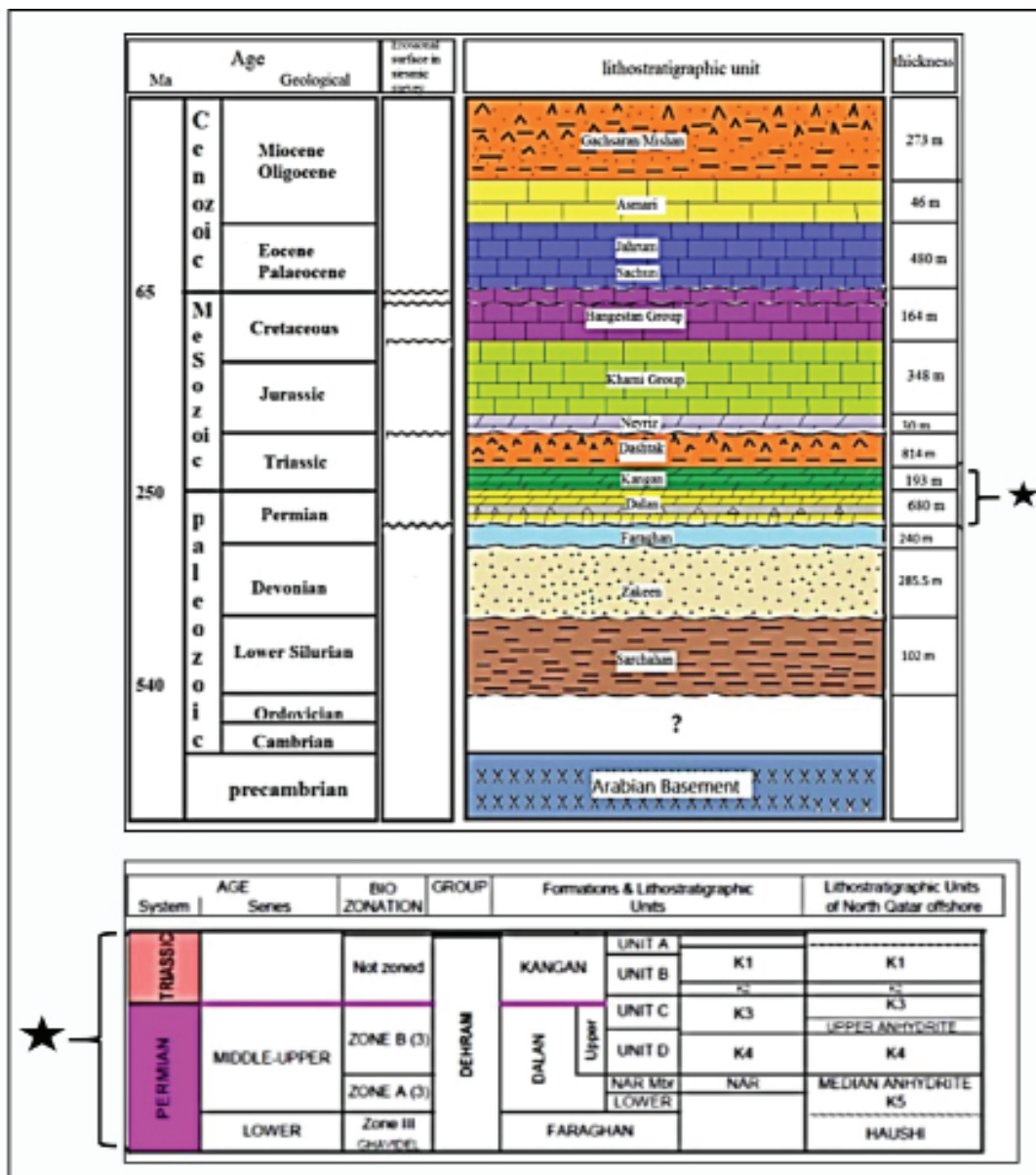
شکل ۱ خوش‌بندی دوبعدی بر مبنای تعداد خوش (۱ خوش)



شکل ۳ خوش‌بندی دوبعدی بر مبنای تعداد خوش (۳ خوش)

دalan بالایی شامل مجموعه‌ای از ریف‌های کربناته-تبخیری و کنگان با لیتولوژی غالب آهک و دولومیت با لایه‌هایی از انیدریت، توالی پرمو-تریاس را تشکیل می‌دهند. توالی dalan بالایی-کنگان در این میدان، شامل چهار واحد مخزنی است که از پایین به بالا شامل واحدهای K4, K3 (dalan بالایی)، K2 و GMM (کنگان) است. برای بررسی کارآیی روش GMM از داده‌های لرزه‌ای سه‌بعدی دو افق متواالی K1 و K2 انتخاب شده و برروی هر دو افق تحلیل رخساره لرزه‌ای انجام می‌گردد.

برای انجام این کار ابتدا با استفاده از اطلاعات چک شات، VSP و یا مدل سرعت در منطقه داده‌های چاه و اطلاعات لرزه‌ای از نظر تبدیل مقیاس زمانی به عمقی با یکدیگر همگام‌سازی می‌شود (در اینجا از اطلاعات چک شات استفاده شده است)، و در مرحله بعد ارتباط بین اطلاعات چاه و داده‌های لرزه‌ای در محل چاه بررسی شده و این ارتباط به دیگر مناطق که اطلاعات چاه را ندارد بسط داده می‌شود. در شکل ۴ توالی رسوبی و چینه‌ای محدوده مطالعاتی در میدان مورد نظر آورده شده است. سازندهای



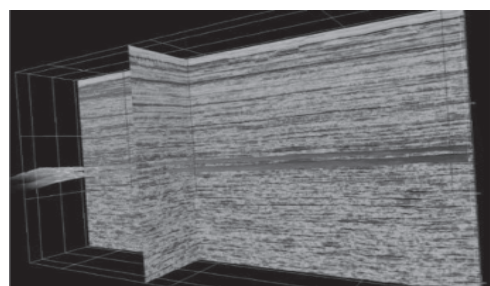
شکل ۴ نمایش چینه‌نگاری کلی به همراه واحدهای مخزنی [۳۶]

که دو افق کنگان و K4 بر روی آن مشخص هستند. داده‌های لرزه‌ای افق‌های K1 و K2 که مورد نظر این پژوهش هستند در شکل ۶ نمایش داده شده است. برای استخراج اطلاعات لرزه‌ای در روی افق‌های مورد نظر، از نتیجه دستچین^۱ هر افق استفاده می‌شود تا بر روی آن افق اطلاعات لرزه‌ای نشان‌گرهای لرزه‌ای استخراج شود.

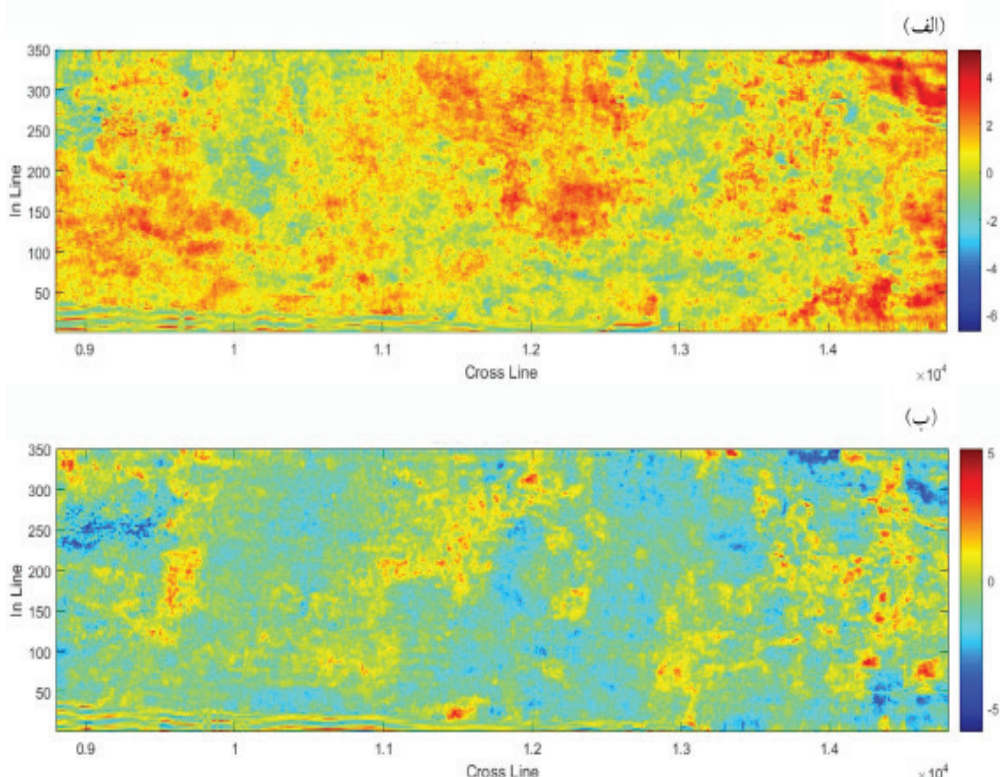
انتخاب نشان‌گرهای افقی

به منظور انجام یک خوش‌بندی مناسب، باید ترکیب بهینه‌ای از نشان‌گرهای لرزه‌ای انتخاب و استفاده شود. در انتخاب نشان‌گرهای بهینه باید به این نکته توجه شود که هر کدام از آن‌ها بخشی از اطلاعات مفید لرزه‌ای را در اختیار داشته باشند و نمایش دهند. در این مسیر باید تلاش شود که تا حد ممکن از انتخاب نشان‌گرهایی که شباهت بالایی به یکدیگر دارند پرهیز شود [۱۶].

در تحلیل رخساره با استفاده از روش GMM توزیع رخساره‌های لرزه‌ای به دست می‌آید و همچنین میزان احتمال تعلق هر عضو به رخساره خود با عددی بین صفر تا یک تعیین می‌گردد که با استفاده از این توزیع احتمال کارآیی و صحت خوش‌بندی قابل بررسی می‌شود. داده‌های لرزه‌ای در محدوده مطالعاتی، داده‌های سه‌بعدی بعد از برانبارش مهاجرت داده شده هستند و در شکل ۵ در محیط نرم‌افزار OpendTect نمایش داده شده است.



شکل ۵ نمایی از اطلاعات سه‌بعدی داده‌های لرزه‌ای در بین دو افق کنگان بالایی و K4 مورد استفاده در مطالعه



شکل ۶ نمایش اطلاعات دامنه لرزه‌ای نمونه اول زمانی افق (الف) K1 و (ب) K2

انجام تحلیل رخساره با استفاده از روش GMM برای خوشبندی اطلاعات لرزه‌ای با استفاده از روش GMM باید تعداد خوش و یا تعداد رخساره‌های لرزه‌ای برای انجام تحلیل رخساره لرزه‌ای مشخص باشد که برای این کار می‌توان از اطلاعات قبلی موجود در منطقه استفاده کرد و یا با استفاده از روش‌های ریاضی تعیین تعداد خوش بهینه، تعداد مناسب خوش را برای اطلاعات مورد نظر به دست آورد [۳۷ و ۳۸]. در این مطالعه براساس نتایج حاصل از مطالعه هادیلو و همکاران [۳۸] که در آن با استفاده از اطلاعات نگار سرعت امواج صوتی (DT)^۱، نگار تخلخل نوترونی (NPHI)^۲ و نگار چگالی (RHOB)^۳ و الکتروفاسیس‌های استخراج شده، کیفیت مخزنی در چاه‌های اکتشافی دسته‌بندی شد که اطلاعات آن در جدول ۱ آمده است. در همان مطالعه همچنین با استفاده از ارزیابی نتایج خوشبندی بدون نظارت تعداد پنج خوش به عنوان تعداد بهینه خوش برای افق‌های مورد مطالعه شناسایی شد و بر همین اساس در این مطالعه از تعداد پنج خوش برای تعیین گستره تغییرات خوش‌ها در مطالعه بدون نظارت استفاده می‌شود [۳۹].

در این مطالعه از نشان‌گرهایی مانند دامنه لحظه‌ای، فرکانس لحظه‌ای، فاز لحظه‌ای و فرکانس غالب که اطلاعات پایه‌ای از داده‌های لرزه‌ای دارند، و نشان‌گر بافتی میانگین GLCM که تغییرات احتمالی بافتی در افق‌ها را نمایندگی می‌کند، و همچنین نشان‌گرهای تک فرکانس ۳۰، ۴۰ Hz حاصل از تجزیه طیفی که اطلاعات تغییرات فرکانس را در اختیار دارند و همچنین نشان‌گرهای انرژی و نشان‌گر تباین صوتی نسبی^۴ که اطلاعات مرتبط با امپدانس صوتی را دارد استفاده می‌شود. برای تحلیل رخساره لرزه‌ای در ابتدا هر کدام از نشان‌گرهای ذکر شده تولید می‌گردد. سپس با استفاده از ترسیم متقابل نشان‌گرهایی که در بیان تغییرات در داده شباهت عملکرد زیادی به هم دارند، برای اجتناب از افزودگی، مشخص و نشان‌گرهای اضافی حذف می‌شوند. سپس با استفاده از روش تحلیل مؤلفه اصلی از نشان‌گرهای باقی‌مانده و به‌منظور کاهش بُعد، متغیرهای (نشان‌گرهای) جدید تولید می‌شوند. بعد از استخراج اطلاعات نشان‌گرها روی افق مورد نظر، روش GMM برای خوشبندی و تولید نقشه رخساره لرزه‌ای روی آن اجرا می‌شود.

جدول ۱ آنالیز نگارهای DT، NPHI و RHOB چاه‌های اکتشافی در منطقه و تفکیک خوش‌ها براساس کیفیت مخزنی استنباط شده از نگارهای چاه [۳۹]

کد رخساره	DT	NPHI	RHOB	کیفیت مخزنی کدهای رخساره
۱	۴۸/۱	۰/۰۴	۲/۸۵	کیفیت غیر مخزنی
۲	۴۸/۳	۰/۰۵۱	۲/۸۸	کیفیت غیر مخزنی
۳	۵۰/۱	۰/۱۲۱	۲/۷۰۱	کیفیت مخزنی نه چندان بد
۴	۵۷	۰/۰۶۹	۲/۴	اساساً کلاس ۳ و تا حدودی کلاس ۲ با کیفیت مخزنی خوب
۵	۷۰	۰/۱۱۲	۱/۸	کلاس ۱ و ۲ با بهترین کیفیت مخزنی
۶	۵۶/۳	۰/۱۵۳۲	۲/۶	توزیع وسیع با کیفیت مخزنی متوسط تا خوب

1. Relative Acoustic Impedance

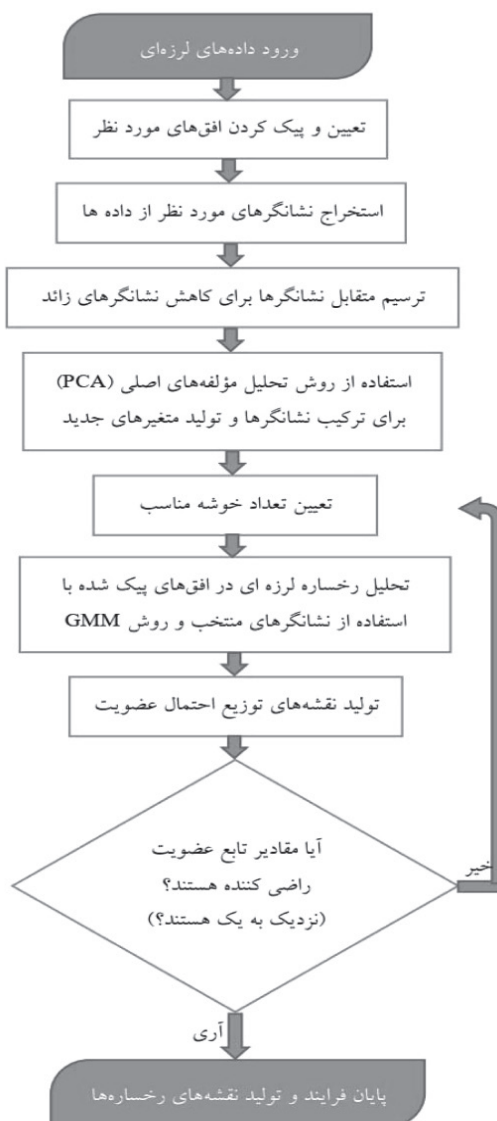
2. Acoustic Log

3. Neutron Porosity Log

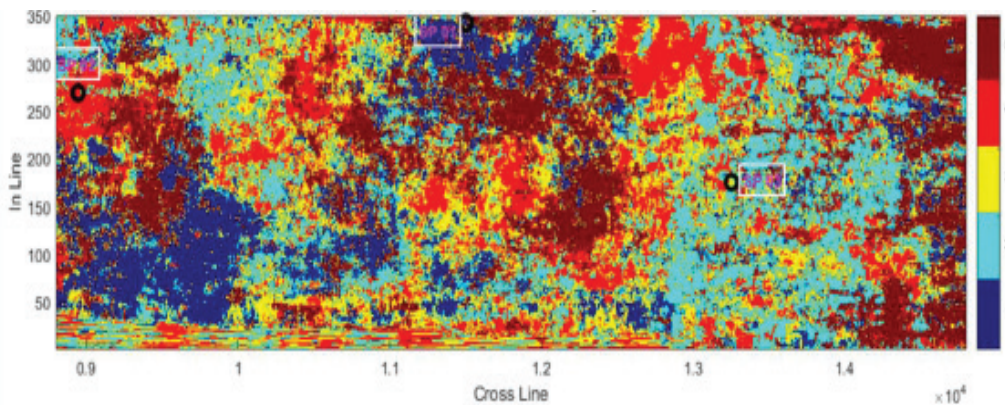
4. Density Log

می‌دهد. از بیان روابط در فلوچارت اجتناب شده است که پیش‌تر در بخش تئوری مقاله به تفصیل تشریح شده‌اند. نقشه‌های تحلیل رخساره حاصل از خوشبندی اطلاعات لرزه‌ای در دو افق مورد نظر با استفاده از روش GMM و با در نظر گرفتن پنج خوش‌تھیه شده است. شکل ۸ نتیجه تحلیل برروی افق K1 را نشان می‌دهد که برای این نقشه رخساره لرزه‌ای، نقشه توزیع احتمال عضویت نیز در شکل ۹ ارائه شده است. نقشه‌های تحلیل رخساره و نقشه توزیع احتمال عضویت متناظر برای افق K2 در شکل‌های ۱۰ و ۱۱ مشاهده می‌شود.

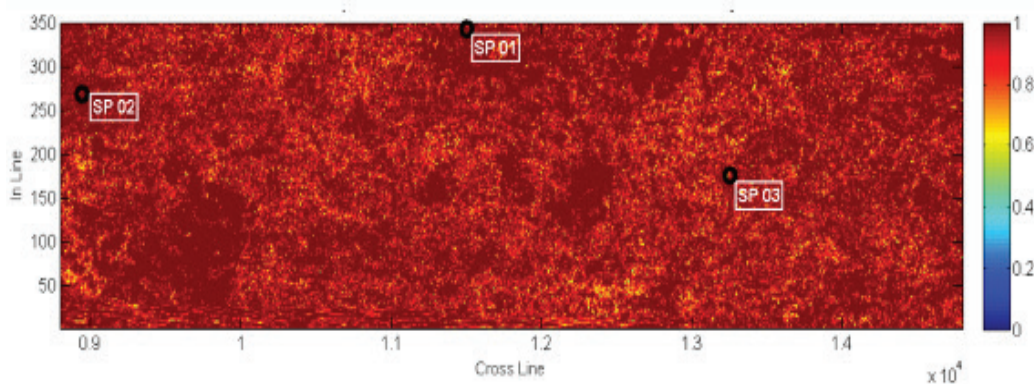
با توجه به اینکه روش GMM توزیع احتمال عضویت در خوش‌تھه را محاسبه می‌کند می‌توان از این مقادیر برای بررسی کلی بهینه بودن خوشبندی استفاده کرد؛ به طوری که اگر برای بیشتر اعضاء میزان عضویت عدد بالا و نزدیک به یک را نشان دهد می‌تواند گواه آن باشد که این تعداد خوش‌تھه توانسته داده‌ها را با دقت مناسبی تفکیک کند و اگر این‌چنین نبود می‌توان با تعیین تعداد خوش‌تھه جدید فرآیند را تکرار کرد. در این پژوهش تعداد پنج خوش‌تھه مناسب تشخیص داده شد. شکل ۷ فرآیند انجام تحلیل رخساره لرزه‌ای با روش GMM را نشان



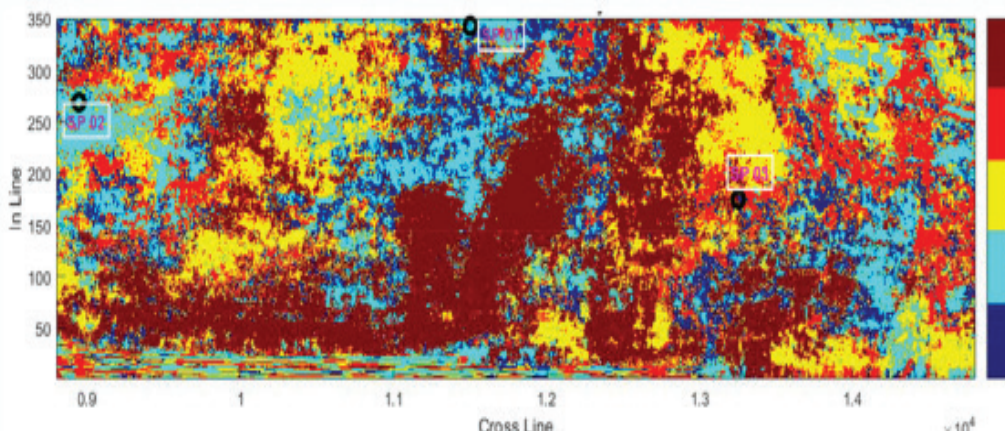
شکل ۷ فلوچارت فرآیند تحلیل رخساره لرزه‌ای با روش GMM



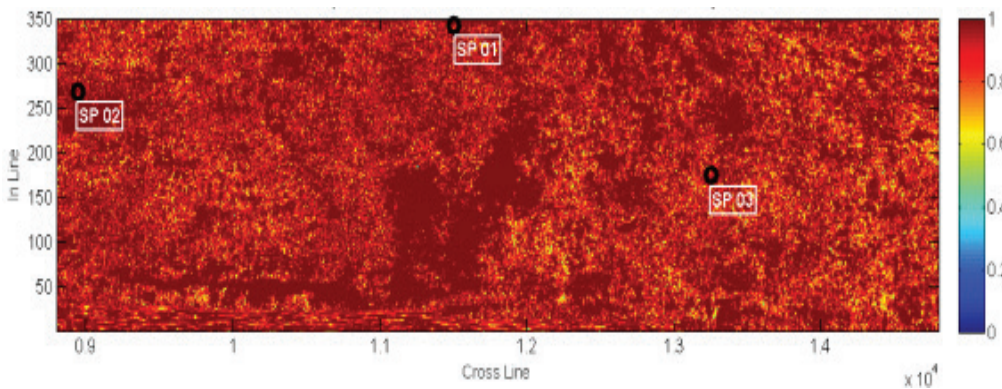
شکل ۸ نمایش اطلاعات لرزه‌ای پس از خوشبندی با روش GMM (۵ خوشه) در روی افق K1. موقعیت سه چاه SP01، SP02 و SP03 با دایره‌های سیاه رنگ در شکل مشخص شده‌اند.



شکل ۹ نمایش توزیع احتمال عضویت در خوشه مربوطه در افق K1 که با روش GMM (۵ خوشه) خوشبندی شده است.



شکل ۱۰ نمایش اطلاعات لرزه‌ای پس از خوشبندی با روش GMM (۵ خوشه) در روی افق K2. موقعیت سه چاه SP01، SP02 و SP03 با دایره‌های سیاه رنگ در شکل مشخص شده‌اند.



شکل ۱۱ نمایش توزیع احتمال عضویت در خوش مربوطه در افق K2 که با روش GMM (خوش) خوشبندی شده است

چگالی در نگارهای چاه دارد (جدول ۱)، با در اختیار بودن این ارتباط، اطلاعات نگارهای چاه توسط ابزار خوشبندی بدون نظارت دسته‌بندی شد تا تفکیک رخسارهای بر حسب نگارهای چاه به دست آید و با نظر گرفتن خصوصیات مغزه‌های موجود کیفیت مخزنی دسته‌بندی نگارهای چاه تعیین شد (جدول ۱). با استناد به دسته‌بندی نگارهای چاه و خصوصیات مرتبط با آنها روش خوشبندی بدون نظارت و با نظارت امکان پیش‌بینی رخسارهای را در کل منطقه‌ای که اطلاعات لرزه‌ای در آن برداشت شده ایجاد می‌کند. در این مطالعه روش بدون نظارت مدل‌های ترکیبی گوسی استفاده شده است تا با استناد به محل چاه بتوان ویژگی‌های دسته‌بندی‌های حاصل از اطلاعات لرزه‌ای را برآورد و بررسی کرد. برای ارزیابی نتایج خوشبندی حاصل از روش GMM از رخساره کیفیت مخزنی تولید شده در مطالعه [۳۹] استفاده شد که اطلاعات آن برای دو افق K1 و K2 در جدول ۲ آورده شده است. طبق این اطلاعات چاه شماره دو و سه به ترتیب در خوش پنج و شش رخساره کیفیت مخزنی قرار گرفته‌اند و بیان‌گر آن هستند که خوش قرمز و آبی فیروزه‌ای در شکل ۸ کیفیت مخزنی بالاتری دارند ولی چاه شماره یک که در خوش آبی پرنگ قرار گرفته با دارا بودن رخساره کیفیت مخزنی ۳، کیفیت مخزنی کمتری دارد.

در نقشه‌های توزیع احتمال عضویت هرچه عدد احتمال حضور به یک نزدیک‌تر باشد نشان از آن دارد که آن داده با احتمال بیشتر عضو خوش مورد نظر است و آن داده در نزدیک مرکز توزیع گوسی قرار گرفته است. این نقشه به نحو مناسبی می‌تواند برای تعیین صحت و توانایی روش خوشبندی استفاده شود. در حالی که همه اعضا احتمال حضور بالا و نزدیک به یک داشته باشند (رنگ قرمز تیره) می‌توان عنوان کرد که نشان‌گرها و تعداد خوش‌ها به طور مناسب انتخاب شده‌اند. برای هر دو افق به صورت کیفی دیده می‌شود که توزیع احتمال عضویت اعدادی نزدیک به یک را به خود گرفته‌اند و این می‌تواند گواهی باشد از آن که خوشبندی GMM توانسته با پنج خوش دسته‌بندی مناسبی از اطلاعات لرزه‌ای را به دست دهد. در منطقه مورد مطالعه سه چاه وجود دارد که دو چاه (SP01 و SP02) اطلاعات مغزه دارند و دیگری تنها اطلاعات نگار در اختیار دارد. در مطالعه هادیلو و همکاران [۳۹] از این اطلاعات استفاده شد تا ارتباط بین مغزه‌ها و نگارهای چاه شناسایی و دسته‌بندی رخسارهای مخزنی بر حسب آنها انجام گردد. آنها ارتباط بین ویژگی‌های مغزه‌ها و نگارهای چاه را بررسی کردند و به طور مثال مشاهده کردند که مغزه‌های با درصد بالاتری از ماسه‌سنگ و یا دولومیت و درصد پایینی از انیدریت، ارتباط مستقیمی با بالا بودن میزان تخلخل و ارتباط معکوس با

رخساره مناسبی از اطلاعات به دست دهد. با در اختیار داشتن اطلاعات چاه و تطبیق دادن اطلاعات چاه با رخساره‌های تولید شده می‌توان خصوصیات کامل رخساره‌ها را شناسایی کرد. الگوریتمی که در این مطالعه استفاده شد، تحلیل غیرنظری رخساره لرزه‌ای می‌باشد و این مطالعه بیشتر برای مراحل ابتدایی اکتشاف مورد استفاده قرار می‌گیرد و می‌تواند دید مناسب از گسترش رخساره‌های لرزه‌ای ارائه کند.

نتیجه‌گیری

در این مطالعه کاربرد روش GMM برای تحلیل رخساره غیر نظارتی لرزه‌ای استفاده شد. روش خوشبندی GMM قادر است بدون استفاده از اطلاعات چاه نظم درون اطلاعات و توزیع رخساره لرزه‌ای را شناسایی کند. در این روش توابع گوسی با استفاده از بیشینه کردن تابع Q بهینه‌ترین حالت نمایندگی داده‌ها را پیدا کرده و داده‌ها را با توزیع احتمال مشخص در خوشبندی مختلف قرار می‌دهد. روش GMM برای داده‌های گل که در آن با استفاده از روش PCA دو نشانگر جدید تولید شده بود توانست به خوبی سه خوشبندی موجود در اطلاعات را استخراج کند. در روش GMM از توابع گوسی به تعداد خوشبندی تعیین شده برای تقریب و پوشش اطلاعات استفاده می‌شود. پس با توجه به اینکه داده‌های لرزه‌ای از توزیع گوسی پیروی می‌کنند انتظار حصول نتیجه از این روش برای خوشبندی داده‌های لرزه‌ای منطقی می‌نماید. روش GMM برای اطلاعات لرزه‌ای سه‌بعدی در دو افق مختلف توزیع رخساره‌های لرزه‌ای را با همبستگی مناسبی بین افق‌ها تولید کرد و همچنین نشان داده شد که این روش با در اختیار قرار دادن نقشه توزیع احتمال عضویت ابزاری را در اختیار مفسر قرار می‌دهد تا بتواند در مورد کیفیت خوشبندی انجام شده به صورت کیفی اظهار نظر کند. نتیجه خوشبندی با تحلیل کیفیت مخزنی حاصل از رخساره‌های الکترونیکی در چاه‌ها هم‌خوانی داشت.

جدول ۲ کیفیت مخزنی در محل چاه‌های موجود در منطقه و در محل پیک افق‌های K1 و K2 [۳۹]

چاه	SP01	SP02	SP03
افق			
K1	۳	۵	۶
K2	۳	۳	۴

برای افق K2 چاه شماره سه رخساره کیفیت مخزنی ۴ را دارد ولی دو چاه دیگر رخساره کیفیت مخزنی سه را دارا هستند و این نتیجه در خوشبندی بدون ناظارت نیز تکرار شده است و دو چاه یک و دو که رخساره کیفیت مخزنی یکسان داشتند در یک خوشبندی باز نگاه آبی فیروزه‌ای قرار گرفته‌اند و چاه شماره ۳ با رخساره کیفیت مخزنی متفاوت در خوشبندی متفاوت قرار گرفته است (شکل ۱۰). دقیق شود که خوشبندی منفک شده در آنالیز رخساره (شکل‌های ۸ و ۱۰) که به تعداد ۵ عدد هستند، متفاوت از کد رخساره زمین‌شناسی (اعداد ۱ تا ۶ در جدول ۱) هستند. به این معنی که اگر بعنوان مثال ناحیه‌ای از شکل‌های ۸ یا ۱۰، با توجه به رنگ، مثلاً در خوشبندی ۵ قرار گرفت، لزوماً به این معنی نیست که آن ناحیه دارای کیفیت مخزنی متناظر با کد رخساره ۵ از جدول ۱ است. در واقع در این آنالیز می‌توان تشخیص داد که ناحیه‌ای از نقشه رخساره لرزه‌ای یک افق (شکل‌های ۸ و ۱۰) که در بردارنده یکی از چاه‌های SP01، SP02 و SP03 هستند، اگر در خوشبندی با رنگ مختص به خود قرار گرفت، بر مبنای اطلاعات چاه موجود در جدول ۲ مشاهده شود که این ناحیه متناظر با چه کد رخساره‌ای است؛ سپس به سراغ جدول ۱ رفته و بررسی شود که این کد رخساره متناظر با چه کیفیت مخزنی می‌باشد. در نتیجه می‌توان استنباط کرد در هر جای دیگر نقشه رخساره لرزه‌ای افق مورد نظر (شکل‌های ۸ و ۱۰) که رنگ مشابه وجود داشته باشد، معادل با کیفیت مخزنی مشابه است.

در این مطالعه تمرکز بر روی کارآیی روش GMM بود تا نشان داده شود که این روش قادر است تحلیل

مراجع

- [1]. Mitchum RM (1988) Glossary of terms used in seismic stratigraphy, AAPGMemoir 26, 205–212: 1977.
- [2]. Dumay J, Fournier F (2005) Multivariate statistical analyses applied to seismic facies recognition, *Geophysics*, 60, 1437-1450.
- [3]. Saggaf MM, Toksöz MN, Marhoon MI (2003) Seismic facies classification and identification by competitive neural networks, *Geophysics* 68: 1984–1999.
- [4]. Duda RO, Hart PO, Stork DG (2001) Pattern classification, 2nd ed. John Wiley & Sons.
- [5]. Taner MT, Koehler F, Sheriff RE (1979) Complex seismic trace analysis, *Geophysics* 44: 1041–1063.
- [6]. Balch AH (1971) Color sonograms, A new dimension in seismic data interpretation, *Geophysics* 36, 1074–1098.
- [7]. Sonneland L (1983) Computer aided interpretation of seismic data, 53rd Annual International Meeting, SEG, Expanded Abstracts 546–549.
- [8]. Justice JH, Hawkins DJ, Wong DJ (1985) Multidimensional attribute analysis and pattern recognition for seismic interpretation, *Pattern Recognition* 18: 391–399.
- [9]. Barnes AE, Laughlin KJ (2002) Investigation of methods for unsupervised classification of seismic data, 72nd Annual International Meeting, SEG, Expanded Abstracts 2221–2224.
- [10]. Zhao T, Jayaram V, Roy A, Marfurt KJ (2015) A comparison of classification techniques for seismic facies recognition,”: *Interpretation* 3, SAE29-SAE58.
- [11]. Chopra S, Marfurt KJ (2018) Seismic facies classification using some unsupervised machine learning methods,” 2018 SEG Convention at Anaheim, California.
- [12]. Hadiloo S, Mirzaei S, Hashemi H, Beiranvand B (2018) Comparison Between Unsupervised and Supervise Fuzzy Clustering Method in Interactive Mode to Obtain the Best Result for Extract Subtle Patterns from Seismic Facies Maps, *Geopersia* 8:1, 27-34.
- [13]. MacQueen J (1967) Some methods for classification and analysis of multivariate observations, in L. M. Le Cam, and J. Neyman, eds.,*Proceedings of the Fifth Berkeley Symposium on Mathematical Statistics and Probability*, University of California Press 281–297.
- [14]. Ferreira DJA, Lupinacci WM, de Andrade Neves I, Zambrini JPR, Ferrari AL, Gamboa LAP, Azul MO (2019) Unsupervised seismic facies classification applied to a presalt carbonate reservoir, Santos Basin, offshore Brazil, *AAPG Bulletin* 103:4, 997-1012.
- [15]. Coleou T, Poupon M, Azbel K (2003) Unsupervised seismic facies classification: A review and comparison of techniques and implementation, *The Leading Edge* 22, 942–953.
- [15]. Coleou T, Poupon M, Azbel K (2003) Unsupervised seismic facies classification: A review and comparison of techniques and implementation, *The Leading Edge* 22, 942–953.
- [16]. Barnes A E (2015) Redundant and useless seismic attributes, *Geophysics* 72, P33-P38, 2007.
- [17]. Roden R, Smith T, Sacrey D (2015) Geologic Pattern Recognition from seismic attributes: principal component analysis and self-organizing maps, *Interpretation* 3, SAE59-SAE83.
- [18]. Gao D (2007) Application of three-dimensional seismic texture analysis with special reference to deep-marine facies discrimination and interpretation: An example from offshore Angola, West Africa, *AAPG Bulletin* 91, 1665–1683.
- [19]. Qian F, Yin M, Liu XY, Wang YJ, Lu C, Hu GM (2018) Unsupervised seismic facies analysis via deep convolutional autoencoders, *Geophysics* 83, 3: A39-A43.
- [20]. Bishop CM, Svensen M, Williams CKI (1998) The generative topographic mapping, *Neural Computation*, 10: 1, 215-234.
- [21]. Roy A (2013) Latent space classification of seismic facies, Ph.D. Dissertation, The University of Oklahoma, 212.
- [22]. Roy A, Romero-Pelaez AS, Kwiatkowski TJ, Marfurt K (2014) Generative topographic mapping for seismic facies estimation of a carbonate wash, Veracruz Basin, southern Mexico, *Interpretation* 2, SA31-SA47.
- [23]. Lubo D, Marfurt K, Jayaram V (2014) Statistical characterization and geological correlation of wells using automatic learning Gaussian mixture models, *Unconventional Resources Technology Conference, Extended Abstracts* 774–783.
- [24]. Hardisty R, Wallet B (2017) Unsupervised seismic facies from mixture models to highlight channel features, *SEG Technical Program Expanded Abstracts*, 2289-2293.
- [۲۵]. عدالت ع. و سیاهکوهی ح. ر., "استفاده از رخسارهای لرزه‌ای در توصیف یکی از مخازن نفتی ایران," *مجله ژئوفیزیک ایران* ۱ (۱)، ۳۷-۴۹، ۱۳۸۶.
- [۲۶]. جوکار ع.، رحیمی م. و میرشکاری ف.، "دسته‌بندی و آنالیز رخسارهای لرزه‌ای به روش‌های نظری و غیرنظری براساس آنالیز چند نشانگری،" *ماهنامه علمی- ترویجی اکتشاف و تولید نفت و گاز*، ۵۰، ۶۷-۷۲.

۱۳۸۷

- [۲۷]. هادیلو س، سیاهکوهی ح. و عدالت ع، "بهبود تحلیل رخسارهای لرزه‌ای با استفاده از نشان‌گر-*WTM* و خوش‌بندی‌های *SOM* و *K-mean*"، مجله فیزیک زمین و فضا، ۳۸ (۲)، ۱۳۹۱، ۴۵-۵۶.
- [۲۸]. ثابتی ح، جواهربان ع. و نجار اعرابی ب، "بررسی تغییر رخساره لرزه‌ای براساس خوش‌بندی سلسله‌مراتبی نشان‌گرهای لرزه‌ای: بررسی موردی در یکی از میدان‌های نفتی ایران"، مجله ژئوفیزیک ایران ۸ (۴)، ۷۷-۹۶.
- [۲۹]. باقری م، ریاحی م. ع، هاشمی ح. و بختیاری م. ر، "تحلیل رخسارهای مخزن با استفاده از داده‌های لرزه‌ای در فضای عدم تشابه"، ماهنامه علمی-ترویجی اکتشاف و تولید نفت و گاز ۱۱۸، ۵۴-۵۹.
- [30]. Hartley H (1958) Maximum likelihood from incomplete data, *Biometrics* 14, 174–194.
- [31]. Dempster AP, Laird NM, Rubin DB (1977) Maximum likelihood from incomplete data via the EM algorithm, *Journal of the Royal Statistical Society Series B (Methodological)* 39: 1: 1–38.
- [32]. Han M, Zhao Y, Li G, Reynolds AC (2011) Application of EM algorithms for seismic facies classification, *Computational Geosciences* 15: 421–429.
- [33]. Kung S, Mak M, Lin S (2004) Biometric Authentication: A Machine Learning Approach, Prentice Hall.
- [34]. Ambroise C, Dang M, Govaert G (1998) Convergence of an EM-type algorithm for spatial clustering, *Pattern recognition letters* 19: 919–927.
- [35]. Han M (2008) Application of the EM algorithms for facies classification and measurement error estimation, M.S. Thesis, University of Tulsa, Tulsa, Oklahoma, USA.
- [36]. Sfidari E, Kadkhodaie-Ilkhchi A, Rahimpour-Bonab H, Soltani B (2014) A hybrid approach for litho-facies characterization in the framework of sequence stratigraphy: a case study from the South Pars gas field, the Persian Gulf basin, Elsevier 1: 121:87-102.
- [37]. Bezdek JC (1981) Cluster Validity. In *Pattern Recognition with Fuzzy Objective Function Algorithms*, 95–154, Boston, MA, Springer US.
- [38]. Hadiloo S, Hashemi H, Mirzaei S, Beiranvand B (2017) SeisART software: seismic facies analysis by contributing interpreter and computer, *Arabian Journal of Geosciences* 10, 23: 519.
- [۳۹]. هادیلو س، "تحلیل رخسارهای لرزه‌ای سه‌بعدی با استفاده از روش تعاملی خوش‌بندی و کلاس‌بندی منطق فازی و *ANFIS*", رساله دکتری، پژوهشکده علوم پایه کاربردی، جهاد دانشگاهی، ۱۳۹۷.



Petroleum Research

Petroleum Research 2019 (August-September), Vol. 30, No. 112, 25-28

DOI: 10.22078/pr.2020.3843.2755

Unsupervised Seismic Data Classification Using Gaussian Mixture Models

Amir Ariyan Nezhad¹, Mohammad Radad^{2*} and Saeed Hadiloo³

1. Petroleum and Chemistry Engineering Department, Islamic Azad University, Electronic Campus, Tehran, Iran.

2. Faculty of Mining, Petroleum and Geophysics Engineering, Shahrood University of Technology, Iran.

3. Research Institute of Applied Sciences (ACECR), Tehran, Iran

mradad@shahroodut.ac.ir

DOI: 10.22078/pr.2020.3843.2755

Received: September/10/2019

Accepted: May/05/2020

Introduction

Description and interpretation of extracted seismic reflection parameters including geometry, continuity, amplitude, frequency and interval speed, are known as seismic facies analysis. Seismic facies analysis can be performed by pattern recognition techniques. By appropriate combination of seismic attributes, lateral changes in reservoir can be identified and then calibrated with well data. When the geological information is incomplete or nonexistent, seismic facies analysis is called unsupervised, and it is performed through unsupervised learning or clustering algorithms. Practically, unsupervised learning uses attributes as learning data and analyzed data. A comparison between different unsupervised methods for classification of seismic facies has been carried out by Barnes and Laughlin [1], Zhao et al. [2], Chopra and Marfurt [3] and Hadiloo et al [4]. Important unsupervised classification methods can include K-mean, Cross-plotting, Principal Component Analysis (PCA), Self-Organizing Maps (SOM), Generative Topographic Maps (GTM) and Gaussian Mixture Models (GMM) [2]. In this study, GMM is used for seismic facies analysis through unsupervised clustering in a set of 3D seismic data related to one of the hydrocarbon fields in south of Iran.

Materials and Methods

In a popular look out, clustering methods are classified in two categories: Classical (hard) and Fuzzy (soft)

clustering; In hard clustering, each data sample can only belong to one cluster; therefore, the sample does not have the probability of existence in two or more clusters. In other words, it is mentioned that the probability of lying each datum in special clusters is zero or one. However, in soft clustering, positioning a sample data set on more than one cluster is possible. GMM is a soft clustering technique. The approach of this method is to implement the expectation maximization (EM) algorithm for Gaussian mixture models. In essence, the EM algorithm is an iterative optimization method for parameter estimation. There are two steps at each iteration: 1) With the estimate of the Gaussian mixture model parameters from the previous iteration, the membership information (i.e. the probability that each datum is sampled from each Gaussian model) is estimated. This step is referred to as the expectation step, or simply the E-step. 2) Using the estimated membership information and the measurements, a maximum likelihood estimate of the Gaussian mixture model parameters is obtained in the second step. This step is referred to as the maximization step or simply the M-step. This two-step process is updated at each iteration until convergence is achieved.

Gaussian mixture model

In statistics, a Gaussian mixture model is a probability distribution that is a convex combination of some Gaussian probability distributions. Suppose that a random measurement d represents a sample from

a mixture of M given Gaussian models, then the probability density function (pdf) of d given the Gaussian mixture model is given by

$$P(d|\Pi, \Theta) = \sum_{j=1}^M \pi_j P(d|\mu_j, C_j) \quad (1)$$

where $\Pi = (\pi_1, \pi_2, \dots, \pi_M)$ are the mixture proportions and the convex combination requires that $\pi_j > 0$ for each $j=1, 2, \dots, M$ and $\sum_{j=1}^M \pi_j = 1$ [14]. $P(d|\mu_j, C_j)$ is a Gaussian distribution with mean μ_j and covariance matrix C_j . In Eq. 1, $\Theta = (\theta_1, \theta_2, \dots, \theta_M)$ and $\theta_j = (\mu_j, C_j)$. Let $\Phi = (\Pi, \Theta)$ denote the Gaussian mixture model parameters, then Eq. 1 becomes:

$$P(d|\Phi) = \sum_{j=1}^M \pi_j P(d|\theta_j) \quad (2)$$

In the current research setting, it is assumed that seismic data of each geological facies follow a Gaussian probability distribution, therefore, the seismic data of the whole reservoir, which is composed of several facies, are samples of a Gaussian mixture model. To identify geological facies from seismic data, we need to find the Gaussian models and the model from which each datum is sampled [5]. This method is performed by using EM algorithm where the details of theory is described in Han et al [5] and Kung et al [6] researches [5,6].

Applying GMM to seismic data

By applying GMM on seismic attributes, classification of geological different features can be achieved. In this section, 3D seismic information is clustered in one of hydrocarbon fields in south of Iran, and the performance of this method for seismic facies analysis is investigated. Two continuous horizons from 3D seismic data called K1 and K2 are selected, and seismic facies analysis is applied on each horizon. In facies analysis, using GMM, seismic facies distribution is achieved and also membership probability of each member to its own facies is defined by a digit between 0 and 1, where by using probability distribution, the performance and accuracy of clustering can be checked. In order to extract seismic information on desired horizons, result of picking on each horizon is used to extract seismic information and seismic attributes. In order to perform a suitable clustering, an optimized combination of seismic attributes should be selected and be used. In this study, different attributes are used including

instantaneous amplitude, instantaneous frequency, instantaneous phase, dominant frequency, which have basic information from seismic data, and texture attributes that represent probable textural changes in horizons, and also single frequency attributes of 20, 30 and 40 Hertz obtained from spectral decomposition of seismic data that have frequency change information and relative acoustic impedance attribute which has information related to acoustic impedance. In order to analyze seismic facies on each horizon, mentioned attributes are generated and after extracting information on desired horizon, GMM method is applied to cluster and generate seismic facies map.

Facies analysis using GMM

In order to cluster seismic information using GMM, number of clusters (or number of seismic facies) for analyzing seismic facies should be defined. This can be done by using previous information of the area, or the appropriate number of clusters for the desired information can be obtained by using mathematical methods of defining optimized number of clusters [7,8]. In this study, based on the research of Hadiloo et al [8] on this zone, the number of five clusters is selected for facies analysis of this data. Facies analysis maps from clustering seismic information in two desired horizons using GMM method by considering five clusters and a cluster membership probability map are provided for each horizon analysis.

Results and Discussion

The results of horizon K1 analysis are shown in Figures 1 and 2, and those of horizon K2 analysis are presented in Figures 3 and 4. In the cluster membership probability maps, whatever the probability of presentation is close to 1, it represents that the data are more probable member of desired cluster, and the data are near center of gaussian distribution. This map can be used appropriately to determine the accuracy and capability of the clustering method. When all members have high probability and close to one (dark red), it can be mentioned that the attributes and the number of clusters are appropriately selected. For each of the two horizons, it can be qualitatively seen that probability distributions of membership are approximately close to one, and this can show that GMM clustering could perform appropriate classification of seismic data.

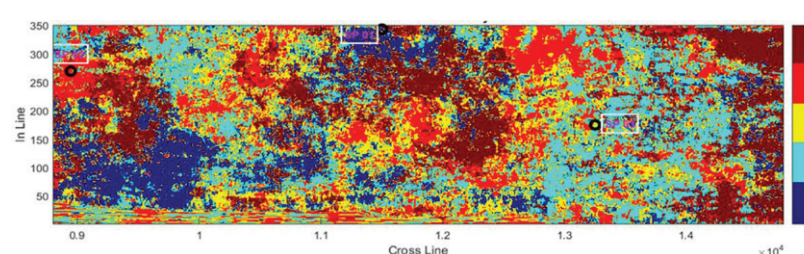


Fig. 1 Facies classification of the horizon K1, clustered with GMM method by 5 clusters. Three wells location are remarked by black circles.

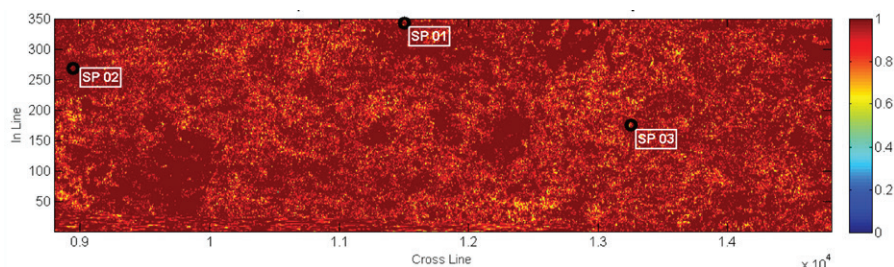


Fig. 2 Cluster membership probabilities on the horizon K1, clustered with GMM method by 5 clusters.

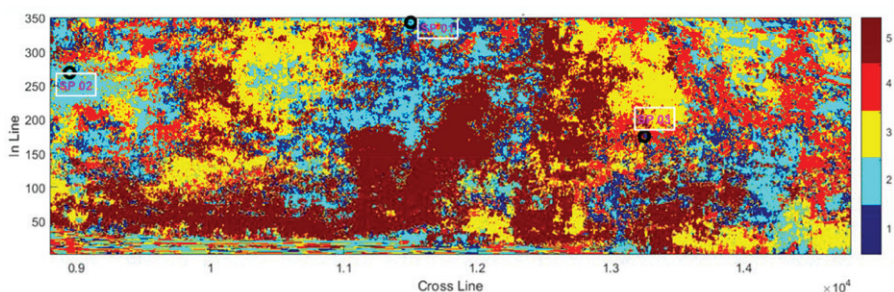


Fig. 3 Facies classification of the horizon K2, clustered with GMM method by 5 clusters. Three wells location are remarked by black circles.

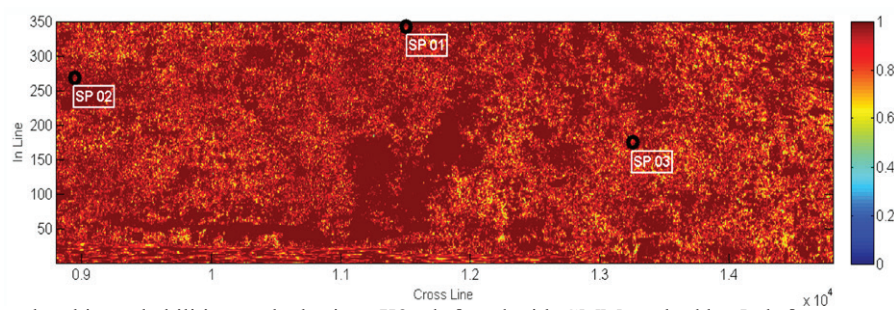


Fig.4. Cluster membership probabilities on the horizon K2, clustered with GMM method by 5 clusters.

Conclusions

In this study, GMM method application was used for unsupervised seismic facies analysis. GMM clustering method is able to identify regularity in the data and distribution of seismic facies without using well information. In GMM method, gaussian functions are used for estimating and covering seismic information. Finally, according to this study, it is found out that GMM method can generate seismic facies distribution with an acceptable correlation between neighbor horizons for 3D seismic information in two different horizons, and also present that the method allows interpreter to comment qualitatively about quality of applied clustering by providing a cluster membership probability map.

Nomenclatures

GMM: Gaussian Mixture Models

GTM: Generative Topographic Maps

PCA: Principal Component Analysis

methods for unsupervised classification of seismic data, 72nd Annual International Meeting, SEG, Expanded Abstracts, 2221–2224.

2. Zhao T, Jayaram V, Roy A, Marfurt KJ (2015) A comparison of classification techniques for seismic facies recognition, Interpretation, 3, SAE29-SAE58.
3. Chopra S, Marfurt KJ (2018) Seismic facies classification using some unsupervised machine learning methods, 2018 SEG Convention at Anaheim, California.
4. Hadiloo S, Mirzaei S, Hashemi H, Beiranvand B (2018) Comparison Between Unsupervised and Supervise Fuzzy Clustering Method in Interactive Mode to Obtain the Best Result for Extract Subtle Patterns from Seismic Facies Maps, Geopersia, 8(1), pp.27-34.
5. Han M, Zhao Y, Li G, Reynolds AC (2011) Application of EM algorithms for seismic facies classification, Comput. Geosci., 15, 421-429.
6. Kung S, Mak M, Lin S (2004) Biometric Authentication: A Machine Learning Approach, Prentice Hall.

References

1. Barnes AE, Laughlin KJ (2002) Investigation of

7. Bezdek JC (1981a) Cluster Validity. In Pattern Recognition with Fuzzy Objective Function Algorithms (pp. 95–154). Boston, MA, Springer US.
8. Hadiloo S, Hashemi H, Mirzaei S., Beiranvand B (2017) SeisART software: seismic facies analysis by contributing interpreter and computer, Arabian Journal of Geosciences, 10(23), p.519.